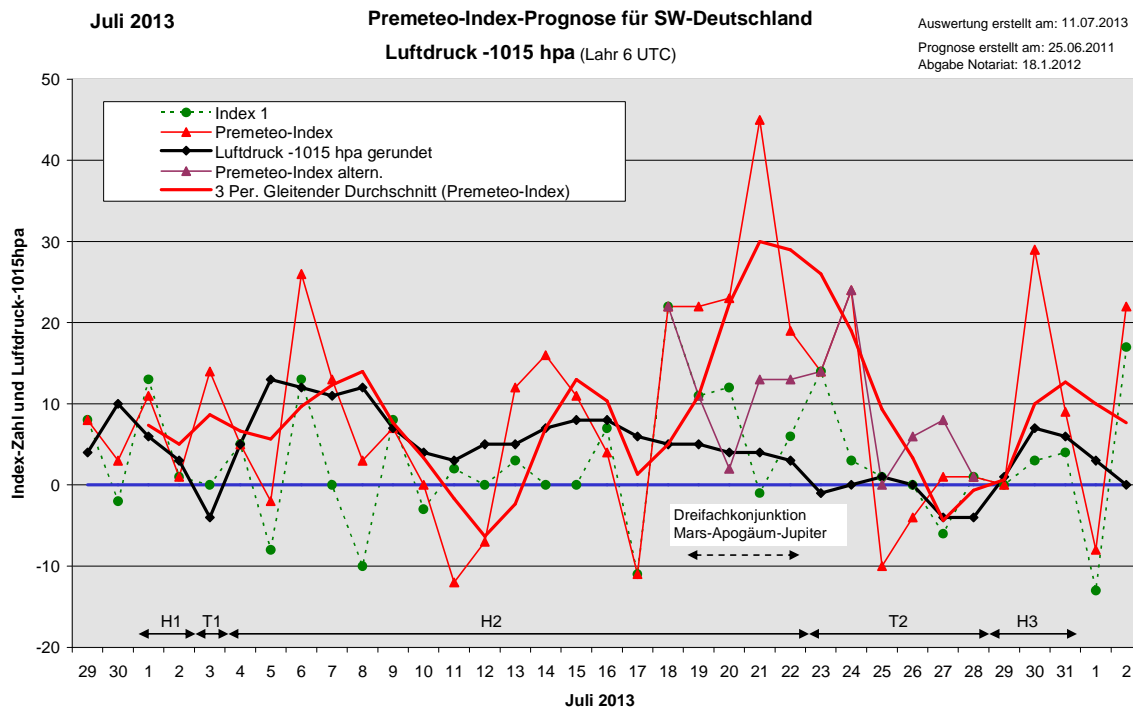


Wetterlagenverlauf Juli 2013 im Vergleich zur Premeteo-Indexprognose für Südwest-Deutschland

(Im Diagramm sind über der Datumsachse die real eingetreten Hoch- und Tiefdruckphasen durch Doppelpfeile eingetragen. Ausschlaggebend für die Evaluation ist der tägliche Premeteo-Index, in der dünneren, roten Linie mit Dreieckspunkten dargestellt. Ein negativer Premeteo-Index zeigt die Wahrscheinlichkeit für eine zyklonale Tiefdruckströmung, ein positiver Premeteo-Index die Wahrscheinlichkeit für eine antizyklonale Hochdruckströmung an.

Die Wetterlagenbeschreibungen wurden anhand der Berliner Wetterkarten erstellt. Ausschlaggebend ist die Europa-Bodenkarte um 0 UTC, die feiner skalierte 12 UTC-Karte von Mitteleuropa wird nur bei einem Wetterlagenwechsel für die Einordnung des Tages hinzugezogen.)



Hochdruckphase 1: Am Monatsbeginn waren noch Hoch Walburga, das nach Osten abwanderte, und das Azorenhoch wetterbestimmend. Der Premeteo-Index summierte auf +12.

Tiefdruckphase 1: Entgegen dem Premeteo-Index von +14 setzte sich am 3. vorübergehend Tief Sky über Großbritannien durch. Der hohe Index stammte aus der Symmetrie Ven 72 Sed Hau (22) A A H*(7/1) +14. Nach der Bewertungsregel (2012-03) dürfen die 72°-Teilungssymmetrien nicht mehr angerechnet werden, also ein handwerklicher Fehler! Es waren zwei Pallas-T*-Aspekte, die relativ rasch hintereinander folgten und sich durchsetzten: Pal 120° Hau T* und Pal 135° Sat T*.

Hochdruckphase 2: Bei noch kräftigen Schauern stellte sich am 4. die Strömung auf Hoch Xena über dem Nordwesten der Iberischen Halbinsel um, das in den folgenden Tagen das Wetter bestimmte. Am 5. lag der Premeteo-Index als einzelner Wert im negativen Bereich bei -2. Mer 72 GSZ Hf um 15:23 UTC war versehentlich erst dem nächsten Tag zugeordnet worden, muss für Merkur-Aspekte bis 16 UTC jedoch noch am selben Tag verrechnet werden. Die korrekten Werte für den 5. und 6. Juli wären +5 und +19 gewesen. Also noch mal ein handwerklicher Fehler! Hoch Xena bescherte dann von seiner Position über Großbritannien bis zum 10. sonniges, warmes Sommerwetter. Am 11. hatte der Premeteo-Index den Wert -12 durch die Symmetrie Orc 45 Son Hau (16) T T* T -14. Sie prägte sich nur schwach aus: deutlich zog sich der Kern etwas nordwestlich von Schottland zurück und auf 500 hpa lag die Region im flachen Bereich des Höhentiefs über Nordpolen-Ostsee, das in der Bodenschicht den Namen Uz II trug. Am Vormittag überwog lokal noch dichte

Bewölkung, doch am Nachmittag war es wieder überwiegend sonnig. Die Luftdruckkurve korrespondierte schwach zum Verlauf des negativen Premeteo-Index, blieb jedoch im positiven Bereichs. Am 12. hatte es zwei Symmetrien, eine zyklonale und eine antizyklonale, mit Pallas gegeben, die beide angerechnet worden waren, weil nicht klar war, welche den höheren Rang hatte. Die Symmetrie mit dem Galaktischen Zentrum erwies sich nun eindeutig als die wirksame und der Premeteo-Index hätte dann +7 Punkte betragen (siehe korrigiertes Diagramm).

Am 13. ging Hoch Xena über in Hoch Yasmine und setzte das angenehme Sommerwetter ohne Schwüle fort. Hoch Yasmine bestimmte sehr stabil die Wetterlage, auch noch am 17., als der Premeteo-Index einen einzelnen negativen Wert von -11 aufwies. Der Luftdruck senkte sich geringfügig und tatsächlich war dies der einzige Tag in dieser ausdauernden Hochdruckwetterlage, der im südlichen Teil Baden-Württembergs eine geschlossene Wolkendecke und etwas Regen brachte! Am 17. und 18. wiesen die 12 UTC-Karten eine zyklonale Strömung über der Region aus. Zugrunde lag die Konjunktion der Sonne mit Varuna, verbunden mit 72° zum absteigenden Mondknoten. Am 19. setzte eine deutliche Erwärmung ein, Maximumtemperaturen von 30°C wurden erreicht mit dem Exaktwerden des Trignons (120°) zwischen Saturn und Neptun. Hoch Yasmine überschritt am 21. den Höhepunkt seiner Zyklonalität, also auch mit dem Maximum des Premeteo-Index. Der stetige Anstieg der Temperatur über die lange Hochdruckphase ließ den Luftdruck langsam fallen, und am 23. schlug durch ein Gewittertief von Frankreich die Strömung in eine zyklonale Bewegung um, zwei Tage vor der Umstellung des Premeteo-Index in den negativen Bereich. Hier überrollte sozusagen die thermodynamische Entwicklung den Effekt der kosmischen Strukturen.

Die Hochdruckphase hatte 19 Tage angedauert und war überwiegend angenehm ohne Schwüle verlaufen. Der Premeteo-Index summierte auf +216.

Tiefdruckphase 2: Tief Yohannes bewegte sich am 23. mit Gewitterbildungen von Frankreich nach Deutschland und bestimmte bis zum 25. die Witterung. Dann übernahmen Tief Zaki und Tief Andreas die Regie. Es kam am 26. und 27. noch zu starker Sonneneinstrahlung und durch die Südströmung zwischen Tief Andreas über Frankreich und Hoch Zlatka über dem Balkan erhitze sich die Atmosphäre ganz enorm, so dass lokal Maximumtemperaturen von 38°C erreicht wurden. Die Strömung auf 500 hpa blieb bis zum 27. eindeutig antizyklonal. Tief Andreas brachte auch noch am 28. kräftige Gewitter. Der Premeteo-Index bewegte sich am 27. und 28. mit +1 im flach positiven Bereich. Über die ganze Phase summierte er auf +26.

Hochdruckphase 3: Am 29. kam es bereits wieder zu einem Vorstoß des Azorenhochs aufgrund der abgekühlten und absinkenden Luftmassen und am 29. befand sich der Kern des Hochs über SW-Frankreich. Es bekam den Namen Antonia und bestimmte bis zum Monatsende das Wetter. Der Premeteo-Index summierte auf +38.

Zusammenfassung:

Der Juli 2013 entsprach insgesamt den Erwartungen, die die Premeteo-Index-Prognose weckte. 24 Tage mit positivem Index waren durch die Prognose errechnet worden und 24 reale Hochdruckwettertage trafen auch ein.

Allerdings kann man dem Auswertungstext und dem Diagramm entnehmen, dass es dabei zu einigen zeitlichen Verschiebungen gekommen war, die genau zu beschreiben waren.

Die Besonderheit des Monats war die sehr lang anhaltende Hochdruckwetterlage vom 4. bis zum 22. Juli. So verlief auch der gleitende Durchschnitt des Premeteo-Index fast immer im positiven Bereich und kündigte damit eine stabile Gesamtwetterlage und einen warmen Monat an. Die lange Hochdruckphase wurde entgegen dem Premeteo-Index jedoch zwei Tage früher beendet durch die zu starke Wärmeentwicklung. Die Thermodynamik hatte hier den Effekt der kosmischen Strukturen überformt.

SW-D befand sich an 24 Tagen im Einflussbereich antizyklonaler Strömung. Die Summe des prognostizierten Premeteo-Index für diese Tage ergibt +266, was einer Indexzahl von +11,08 pro Tag entspricht.

An 7 Tagen befand sich SW-D im Einflussbereich zyklonaler Strömung. Die Summe des prognostizierten Premeteo-Index für diese Tage ergibt +40, was einer Indexzahl pro Tag von +5,71 entspricht.

Die Prognose durch die Premeteo-Wettersymbole war an 4 Tagen falsch (am 3., 11., 24., 25.), an 14 Tagen richtig und an 13 Tagen tendenziell richtig.

Tabellen



01.07.2013										
Langsamläufer-Impulse	T*		T*	2H*	H*	H*, T*		Tst*	T*	
Schnellläufer-Impulse	H	H		Tf	H, T, 2Hf			H, T	2H, Hf	H, 3T
Temperaturimpulse	W	K			W, K		W	W, K		W*, K?
Premeteo-Index -zyklonal, + antizyklonal (Index 1+2+3)	11	1	14	5	-2	26	13	3	7	0
Pre.IX (ALTERNATIV)										
Index 1 (12 - 12 UTC) exakte Aspekte des Tages	13	1	0	5	-8	13	0	-10	8	-3
Index 1(ALTERNATIV)										
Symmetrien (0 - 0 UTC)	Pal 120 Jun Hau (06) A* T* A* -7	Hau 120 Pal Jun (05) T* A* A* (-7) GaZ 4op Mar Jup (11) H A* +7? Ven 72 Sed Hau (22) A A H*(7/1)+14	Son 10 Jup Mer (08) A W H +7?	Mer 8 Son Ves (11) H H +7?	Mar 30 Var Sed (10) Hf Tt T* (0,5/4) -7? Ves 144 Nep Qua (14) A* W? H* +7	Mer 5 Son Var (13) H A +7? GaZ 6op Jup Pal (17) A* H* +7? Plu 15op Mar Var (22) Hf --- Cer 72 Sed Hau (23) A* A* H*(7/1)+14 Mar Top Qua GaZ (23) A H +7	Jun 135 Jup GSZ (15) A* A* H* +7 Mer 23 Ven Mar (16) T -14	Cer 6 Ven Ves (12) A W H*(4/1/2) +7? Orc 45 Hau Mer (13) T* A A ? Ves 6 Var Cer (14) A* H*(4/1/2) +7?	Son 14 Jup Ves (03) H* --- Plu Top Son Jup (06) H A* +7?	Mer 14 Jup Ves (05) H* 0 Var 7 Son Ves (06) T A* -7? Orc 45 Son Hau (16) T T* T -14
Index 2 (12 - 12 UTC)	-7	0	14	0	0	7	7	7	-7	0
Index 2 ALTERNATIV										
ausgelöste LL-Aspekte	Cer 144 GaZ H5				Jup 90 GSZ H6	Jup 90 GSZ H6	Jup 90 GSZ H6	Jup 90 GSZ H6	Jup 90 GSZ H6	Son 90 Hau T-3 Jup 90 GSZ H6
Index 3 (Summe)	5	0	0	0	6	6	6	6	6	3
Index 3 ALTERNATIV										
Symbol-Prognose	2	3	2	3	3	2	2	3	3	3
Symbol-Prognose altern.	2	3	2	3	3	2	2	3	3	3
Wochentag	Mo	Di	Mi	Do	Fr	Sa	So	Mo	Di	Mi
Datum	1	2	3	4	5	6	7	8	9	10
reale Wetterlage	H1: 2H - T* / +12		T1: T* / +14	H2: 18H*, 3Hf, 10H - Tf*, 3T*, 2Tf, 16T / +216						
Luftdruck (hpa) 06 UTC	1020,8	1017,7	1011,5	1019,9	1027,9	1027,1	1026,3	1026,9	1022,3	1018,5
mittl. Temp.(°C)	18,2	20,6	18,6	17,9	18,9	20,7	21,7	21,6	22	22
Sonnenscheindauer (h)	13,3	11,7	.	1,2	13,3	13,2	11,5	14,6	13,5	14,3
Niederschlag (Liter)	.	3	7 / 9	2 / 11
Bodenwetterlage 00 UTC (Kernlage des Druckgebets, das SW-D beeinflusst)	H ü S-D, Azoren-H	Azoren-H, T ü Karp	T ü GB	H ü NW-Iber	H ü O-Atl u F	H ü Nsee	H ü GB u. N-D	H ü Nsee	H ü GB	H bei Schottland
Bodenströmung 12 UTC zyklonal (z), antizyklonal (a)	a-z	a-z	z	a	a	a	fl z	a-z	a-z	a
Strömung auf 500 hpa 00 UTC	WNW a	W fl z	SW z	NW fl z	W a	NW a	fl a	NO a	fl a	fl a
zutreffende Wettersymbole	2 r	2 hr	5 f	5 hr	2 hr	2 r	2 r	2 hr	2 hr	2 hr

Übertrag
Index 1: +13
Index 2: 0

PAL 120 JUN ZWI 18°13'45" WAS 18°13'44" A* -	00:28 SON 180 PLU KRE 10°17'31" STE 10°17'30" H+6	00:07 VEN 72 EL6 LÖW 06°30'22" WAA 18°30'23" A	01:48 VEN 144 CHI LÖW 07°41'28" FIS 13°41'30" A W	01:16 MER 30 PAL KRE 20°33'07" ZWI 20°33'07" A	02:25 VEN 150 PLU LÖW 10°11'17" STE 10°11'18" A	02:44 JUP 135 JUN KRE 02°30'36" WAS 17°30'36" A*	02:09 VEN 120 URA LÖW 12°29'02" WID 12°29'01" H W ---	00:15 MAR 180 GaZ ZWI 26°56'29" SCH 26°56'30" H+8	01:20 ORC 60 APO JUN 03°31'40" KRE 03°31'40" A* W*	01:48
12:12 PAL 120 EL6 ZWI 18°30'24" WAA 18°30'24" T* -5	00:13 VEN 150 NEP LÖW 05°12'50" FIS 05°12'51" A K	04:37 MAR 60 ERI ZWI 22°55'56" WID 22°55'56" A	05:35 JUN 135 APO WAS 17°52'37" KRE 02°52'37" H+5	05:17 VEN 135 QUA LÖW 09°06'20" SCH 24°06'21" H+2	11:52 CER 72 SED LÖW 06°06'41" STI 24°06'40" A*	09:31 CER 72 EL6 LÖW 06°30'35" WAA 18°30'35" T -2	09:29 VEN 45 FY9 LÖW 12°56'58" JUN 27°56'57" T -2	05:43 ORC 45 EL6 JUN 03°30'47" WAA 18°30'48" T -11	15:05 MAR 90 FY9 ZWI 27°58'12" KRE 27°58'12" H+4	13:36
15:53 VES 60 FY9 KRE 27°53'38" JUN 27°53'38" A*	17:17 VEN 72 SED LÖW 06°04'34" STI 24°04'35" A	11:39 CHI 135 VES FIS 13°42'02" KRE 28°42'01" A*	06:23 SON 90 URA KRE 12°26'53" WID 12°26'54" A	10:08 MAR 72 URA ZWI 24°27'37" WID 12°27'37" A	14:19 VES 144 QUA LÖW 00°04'51" SCH 24°04'51" H* +5	13:30 VEN 135 GaZ LÖW 11°56'30" KRE 18°30'42" WAA 18°30'42" A	12:10 MER 90 EL6 LÖW 11°56'30" KRE 18°30'42" WAA 18°30'42" A	05:57 SON 150 JUN KRE 17°11'60" WID 17°12'01" Hf +11	15:05 SON 90 EL6 KRE 18°31'01" WAA 18°30'60" T K? -3	15:05
17:05 VEN 90 SAT LÖW 04°51'13" SKO 04°51'12" H W	17:30 SAT 90 CER SKO 04°50'10" LÖW 04°50'10" A*	14:24 NEP 150 CER FIS 05°10'58" LÖW 05°10'58" H* +5	09:19 SED 150 QUA STI 24°06'06" SCH 24°06'06" A*(9)	10:40 PAL 72 ORC JUN 21°28'14" JUN 03°28'14" T* -5	17:02 SON 72 FY9 KRE 15°56'41" JUN 27°56'41" A	22:22 CHI 120 KN1 FIS 13°36'41" SKO 13°36'41" Tst* -8	12:12 PAL 60 ERI ZWI 22°56'45" WID 22°56'46" A*	06:55 SON 45 ORC KRE 18°32'15" JUN 03°32'16" T -6	15:36	15:36
21:55 MER 30 MAR KRE 22°03'14" ZWI 22°03'13" A	17:30 SON 144 JUN KRE 11°56'10" WAS 17°56'11" A	13:39 NEP 144 VES FIS 05°10'49" KRE 29°10'50" A* W?*	13:03 SON 120 CHI KRE 13°40'00" FIS 13°39'60" A	15:09 VEN 45 MAR LÖW 09°36'12" ZWI 24°36'12" T ---	12:34 MER 45 ORC KRE 18°30'04" JUN 03°30'03" A	18:42 SON 0 MER KRE 17°42'24" WID 17°42'25" H+2	19:47 CHI 144 CER FIS 13°35'04" LÖW 07°35'04" A*	23:21 VEN 144 PLU LÖW 16°04'01" STE 10°04'00" T -2	23:21	23:21
21:08 PAL 144 KN1 ZWI 19°51'23" SKO 13°51'23" A*	21:23 MAR 30 SED ZWI 24°05'48" STI 24°05'48" Tf -10	15:23 MER 72 GSZ KRE 20°15'01" WAA 02°15'01" Hf +7	21:54 MAR 180 QUA ZWI 24°06'41" SCH 24°06'41" A	15:28 SON 120 KN1 KRE 13°45'46" SKO 13°45'47" A W	19:03 MER 135 NEP KRE 20°09'47" FIS 05°09'47" A K	22:37 JUP 90 GSZ KRE 02°15'01" WAA 02°15'01" H* +6	22:27 VEN 150 CHI LÖW 13°36'11" FIS 13°36'10" A			

Juli 2013  **Prognose für SW-Deutschland**

Langsamläufer-Impulse	H*	H*, T*	H*	T*		2H*	2H*, H?*	2H*, H?*	H*	
Schnellläufer-Impulse	T, H	T	T			2T	3T			2H, Tf, T
Temperaturimpulse	K						W	W*		
Premeteo-Index -zyklonal, + antizyklonal (Index 1+2+3)	-12	-7	12	16	11	4	-11	22	22	23
Pre.IX (ALTERNATIV)									11	2
Index 1 (12 - 12 UTC) exakte Aspekte des Tages	2	0	3	0	0	7	-11	22	11	12
Index 1(ALTERNATIV)										2
Symmetrien (0 - 0 UTC)	Var 22 Ven Jup (07) T	Pal 30 Var Sed (03) H* H* T* (0,5/4) -14 GaZ 20p Mar Pal (08) H H* +7 Ven 44 Jup GSZ (14) T H H* +7? Son 4 Var Mer (16) T H -7? Ven 15 Ves Orc (18) T* ---Index1! Plu 15op Pal Var (22) H* ---	Pal 20p Qua GaZ (16) A* H* +7 Mak 166 Usa Chi (20) H* (8/3) 0	Ven 37 Mak Mer (08) T --- Ves 30 Jup Orc (09) H* T* A* -7? Eri 119 Ven Qua (21) T A* (5/4) T-7	Qua 150 Son Sed (00) T A* (9) A -7 Mer 10 Son Jup (06) H T ?	Ven 120 Qua Eri (02) T T A* (5/4) -14 Sat 120 Jup Nep (08) H*(25/15) H* A* W* +14	Nep 120 Jup Sat (05) A* W* H* H*(25/15) (+7) Qua 119 Ven Eri (05) T A* (5/4) T (-7) Mar 6op Plu GaZ (15) A H +7?	Cer 15 Son Ven (21) T K ---	Mer 14 Son Pal (03) H --- Ves 72 Sed Hau (16) A* A* H*(7/1) +14 Nep 120 Mar Sat (18) A W H* A +7 Mar 120 Sat Nep (21) A A W H* (+7)	
Index 2 (12 - 12 UTC)	-14	-7	0	7	0	-14	0	0	0	0
Index 2 ALTERNATIV										
ausgelöste LL-Aspekte			Ven 45 Jup T-2 Jup 120 Sat H6 Ves 30 Jup H5	Ven 30 Jup H5 Jup 72 Eri H6	Ves 30 Jup H5 Jup 72 Eri H6	Ves 30 Jup H5 Jup 72 Eri H6	Ves 30 Jup H5 Jup 72 Eri H6 Var 60 Sed T-11	Ves 30 Jup H5 Jup 72 Eri H6 Var 60 Sed T-11	Ves 30 Jup H5 Jup 72 Eri H6	Ves 30 Jup H5 Jup 72 Eri H6
Index 3 (Summe)	0	0	9	9	11	11	0	0	11	11
Index 3 ALTERNATIV										
Symbol-Prognose	5	3	2	2	2	3	3	2	2	2
	5	3	2	2	2	3	3	2	2	2
Wochentag	Do	Fr	Sa	So	Mo	Di	Mi	Do	Fr	Sa
Datum	11	12	13	14	15	16	17	18	19	20
reale Wetterlage										
Luftdruck (hpa) 06 UTC	1018	1020,1	1020,3	1022,3	1022,9	1022,6	1021,2	1020,2	1019,7	1018,5
mittl. Temp.(°C)	18,4	18,2	19,3	19,9	19,9	21,3	20,5	22,9	23,2	23,2
Sonnenscheindauer (h)	10,7	14	14,1	13,9	13,7	14,4	2,3	7,5	12,3	14,0 FR
Niederschlag (Liter)	4 / 2,5	0,0	.	.
Bodenwetterlage 00 UTC (Kernlage des Druckgebiets, das SW-D beeinflusst)	H ü Schottl	H ü Irland	H ü Irland	H sw von Irland	H ü Azoren u. O-Atl	H ü O-Atl, Nsee, Alpen	H ü O-Atl, H ü Slowakei	H ü GB	H ü GB	H ü GB
Bodenströmung 12 UTC zyklonal (z), antizyklonal (a)	fl a	a	fl a	a	a	fl z	fl z	z	a	a
Strömung auf 500 hpa 00 UTC	NW fl z	NW a-z	N fl z	N a	NW fl a	a	fl a	fl z	fl a	a
zutreffende Wettersymbole	2-3 f	2 hr	2 r	2 r	2 r	2 hr	3 r	3 hr	2 r	2 r

MER 150 JUN KRE 16°55'23" WAS 16°55'24" A	00:50	URA 72 PAL WID 12°30'31" WAA 24°30'31" A*	00:18	VEN 60 EL6 LÖW 18°31'28" WAA 18°31'27" A	00:10	VES 30 ORC LÖW 03°36'25" JUN 03°36'25" T* ---	11:50	PLU 150 CER STE 09°57'47" LÖW 09°57'47" WID 22°57'12" A	04:10	PAL 180 GaZ ZWI 26°56'30" SCH 26°56'29" H* +10	05:49	SAT 90 VES SKO 04°53'13" LÖW 04°53'14" A*	08:16	JUP 72 ERI KRE 04°57'16" LÖW 22°57'17" H* +6	00:15	MAR 60 ORC KRE 03°41'35" JUN 03°41'34" A	00:41	VES 72 SED LÖW 06°13'12" STI 24°13'12" A*	07:19	
	03:03		05:56	00:12		06:42	06:50	10:57	00:16	11:02					11:02			11:12		
PAL 180 QUA ZWI 24°00'01" SCH 24°00'00" A*	03:03	SON 135 NEP KRE 20°03'40" FIS 05°03'39" A*	05:56	VES 144 GaZ LÖW 02°56'30" SCH 26°56'30" H* +5	00:12	SON 90 ERI KRE 22°57'12" WID 22°57'12" A	06:42	SON 150 QUA KRE 23°54'45" SCH 23°54'45" T-3	06:50	VEN 120 QUA LÖW 23°53'35" SCH 23°53'36" T-2	10:57	JUP 120 NEP KRE 04°57'17" FIS 04°57'17" A* W*	00:16	SON 150 GaZ KRE 26°56'30" SCH 26°56'29" A	11:02	VEN 135 URA LÖW 27°31'08" WID 12°31'07" H +2				
	07:03		10:41	02:52		07:33	13:54	12:23	04:11	13:25			13:25		12:18					
MAR 135 KN1 ZWI 28°27'51" SKO 13°27'50" A	07:03	SON 72 GSZ KRE 20°14'59" WAA 02°15'00" A	10:41	JUP 0 APO KRE 03°52'01" KRE 03°52'01" A*	02:52	MAR 135 JUN KRE 01°11'19" WAS 16°11'19" A	07:33	SON 60 SED KRE 24°11'36" STI 24°11'37" A	13:54	NEP 150 VES FIS 04°57'52" LÖW 04°57'51" H* +5	12:23	PAL 90 FY9 ZWI 28°03'20" JUN 28°03'20" H* +5	04:11	SAT 120 NEP SKO 04°55'27" FIS 04°55'27" H* +7	13:25	MAR 0 APO KRE 04°41'26" KRE 28°05'14" TT 01-10				
	09:27		14:30	07:23		17:14	14:43	13:20	05:52	14:25			14:25		15:51					
PAL 30 SED ZWI 24°09'12" STI 24°09'12" H* +5	09:27	MER 72 FY9 KRE 15°59'29" JUN 27°59'28" T-2	14:30	VEN 45 APO LÖW 18°53'16" KRE 03°53'16" A	07:23	VES 30 APO LÖW 04°09'23" KRE 04°09'23" A*	17:14	VEN 72 SAT LÖW 22°52'36" SKO 04°52'35" T1 -6	14:43	SON 0 VAR KRE 25°07'30" SKO 13°05'45" T1 -6	13:20	PAL 135 KN1 ZWI 28°05'45" SKO 13°05'45" A*	05:52	CER 135 GaZ LÖW 11°56'29" SCH 26°56'29" H* +3	14:25	SON 60 FY9 KRE 28°05'14" JUN 28°05'15" H +3				
	11:06		21:11	07:54		16:16	16:16	13:31	06:46	23:41			23:41		19:44					
VES 60 GSZ LÖW 02°15'00" WAA 02°15'00" A*	11:06	PAL 30 VAR ZWI 25°00'30" KRE 25°00'30" H* +5	21:11	VEN 45 JUP LÖW 18°54'49" KRE 03°54'50" T-2	07:54	VEN 120 ERI LÖW 22°57'16" WID 22°57'15" T-2	16:16	SON 72 KN2 KRE 25°07'56" STI 13°07'55" T1 W1 -6	13:31	VEN 135 PLU KRE 25°07'56" STE 09°53'17" A	23:41	VEN 120 GaZ LÖW 26°56'29" SCH 26°56'30" A	06:46	MAR 120 NEP KRE 04°53'55" FIS 04°53'55" A W	19:44	MAR 120 NEP KRE 04°53'55" FIS 04°53'55" A W				
	11:09		22:35			21:16	15:34	11:58					11:58		21:16					
MER 30 VEN KRE 16°39'40" LÖW 16°39'40" T K -1	11:09	CER 135 QUA LÖW 08°58'07" SCH 23°58'08" T* -5	22:35			MAR 90 GSZ KRE 02°14'59" WAA 02°14'59" A	21:16	VAR 72 KN2 KRE 25°07'39" STI 13°07'39" H*(10/4,5) ---	15:34	VEN 30 VAR LÖW 25°08'57" KRE 25°08'55" A	11:58				21:16	SON 135 CHI KRE 28°18'09" FIS 13°18'09" T ---				
	14:32					23:52	17:06	20:19							21:17					
VEN 180 JUN LÖW 16°49'53" WAS 16°49'52" A	14:32					JUP 30 VES KRE 04°43'47" LÖW 04°43'47" H* +5	23:52	VEN 90 SED LÖW 24°12'07" STI 24°12'07" A	17:06	FY9 45 KN1 JUN 28°03'50" SKO 13°03'50" H?(9/4) +11	20:19				21:17	URA 120 CER WID 12°31'04" LÖW 12°31'04" A*				
	17:39						17:33								21:36					
JUP 60 ORC KRE 03°33'25" JUN 03°33'25" A*	17:39							JUP 120 SAT KRE 04°53'34" SKO 04°53'34" H*(25/15) +6	17:33						21:36	MAR 120 SAT KRE 04°57'03" SKO 04°57'02" A				
	22:51														21:44					
VEN 45 GSZ LÖW 17°15'01" WAA 02°15'00" H +2	22:51														21:44	MAR 72 ERI KRE 04°57'16" WID 22°57'16" A				
															22:37	VEN 30 FY9 LÖW 28°05'29" JUN 28°05'28" A				

Juli 2013



Prognose für SW-Deutschland

Langsamläufer-Impulse		2H*					H*		H*	H*	
Schnellläufer-Impulse	T	T, H	T, H, HF	H	H, T	T	Hf, T	2T	2T	H, Tf	
Temperaturimpulse	K, W	K, W	K			W	K?	W?, W	2K		
Premeteo-Index -zyklonal, + antizyklonal (Index 1+2+3)	45	19	14	24	-10	-4	1	1	0	29	9
Pre.IX (ALTERNATIV)	13	13			0	6	8				
Index 1 (12 - 12 UTC) exakte Aspekte des Tages	-1	6	14	3	1	0	-6	1	0	3	4
Index 1 (ALTERNATIV)							1				
Symmetrien (0 - 0 UTC)	Sat 120 Mar Nep (00) A H* A W (+7) Ven 30 Son Mak. (03) T K A H +14/-7	Son 144 Nep Qua (00) A W H W 7 +7 Jun 150p Son Ven (09) T K ---	Chi 145 Ves Hau (21) H* A* A* +7	Ven 30 Son GSZ (00) T K A H +14 Son 6 Ves Var (10) H T -??	Ves 6 Son Cer (04) H H?*(4/12) +7?	Son 31 Pal Orc (01) H A A* +7	Chi 29 Ura Jun (04) H* (8/3) A* A* +7 Nep 10p Ven Orc (06) AW ?* ? Pal 60p Plu GaZ (06) A* H* +7? Ven 59 Jup Sat (14) A W T H*(25/15) 0 Var 10 Son Mer (21) T A -10?	Mer 9 Jup Var (15) T A -7? Nep 120 Sat Pal (22) H* A* A* +7	Jup 3 Mar Pal (00) A T* -7 Hau 68 Ven GaZ (09) H* --- Son 72 Sed Hau (10) A A H*(7/1) ---	Pal 120 Sat Nep (02) A* A* H* --- Hau 144 Chi Sed (03) A* H*(7/1) ? +7 Ven 23 GSZ Cer (11) H* +14	Mer 7 Mar Var (05) T A -7? Sat 119 Nep Pal (16) H* A* A* +7 Orc 45 Hau Mer (19) T* A -7
Index 2 (12 -12 UTC)	35	7	0	21	0	7	7	0	0	21	0
Index 2 (ALTERNATIV)	14										
ausgelöste LL-Aspekte	Ves 30 Jup H5 Jup 72 Eri H6	Jup 72 Eri H6			Orc 45 Hau T-11 Nep 180 Orc ?* 0 #	Orc 45 Hau T-11 Nep 180 Orc ?* 0 #				Pal 72 Eri H5	Pal 72 Eri H5
Index 3 (Summe)	11	6	0	0	-11	-11	0	0	0	5	5
Index 3 ALTERNATIV	0	0			-1	-1					
Symbol-Prognose	2	2	2	2	5	3	3	3	3	2	3
	2	2	2	2	5	3	3	3	3	2	3
Wochentag	So	Mo	Di	Mi	Do	Fr	Sa	So	Mo	Di	Mi
Datum	21	22	23	24	25	26	27	28	29	30	31
reale Wetterlage	T2: 6T - H*, 2Hf, 3H / +26					H3: 2H*, H - Tf, 2T / +38					
Luftdruck (hpa) 06 UTC	1018,6	1017,5	1014,1	1015	1016,3	1014,8	1010,8	1010,6	1016,1	1022,3	1021,3
mittl. Temp.(°C)	24	25,1	23,6	22,6	24,3	26,2	28,1	22,4	19	21,4	22,8
Sonnenscheindauer (h)	14, 0 FR	13,9 FR	8,7	4,4	10,6	9,2	13,6	2,4	1	6,4	10,9
Niederschlag (Liter)	.	.	1/5	/ 1,5	0,5	.	3/10	7/7	46/13	0,0 / 1,5	.
Bodenwetterlage 00 UTC (Kernlage des Druckgebiets, das SW-D beeinflusst)	H ü N-Nsee	H mit Kern ü Nm u O-Alpen	Gewitterfront ü F	T ü W-D	Ökl von T ü N-D bis SW-D	fl H ü Öster T ü O-Atl	T ü F	T ü SW-GB	Azor/H, T ü NO-Atl, T ü Nm	H ü SW-F	H ü SW-F u. S-D
Bodenströmung 12 UTC zyklonal (z), antizyklonal (a)	a	a	z	a	z	z	z	z	z	a	a
Strömung auf 500 hpa 00 UTC	a	a	a	SW a	SW fl a	W a	W a	SW a-z	SW a-z	W z	W fl a
zutreffende Wettersymbole	2 r	2 r	3 hr	3-5 f	2-3 f	3 r	2 hr	3-5 r	5 hr	3 hr	2-3 r

01:40	00:12	05:19	09:27	00:30	12:09	00:59	00:32	03:36	01:49	05:14
VES 72 EL6 LÖW 06*3353* WAA 18*3353* A*	SON 30 VEN KRE 29*2225* LÖW 29*2225* T K -2	VEN 72 KN1 JUN 00*4956* SKO 12*4956* T K ---	SON 30 PAL LÖW 01*3902* KRE 01*3902* H +3	SON 60 GSZ LÖW 02*1457* WAA 02*1458* H +3	VEN 180 NEP JUN 04*4636* FIS 04*4636* AW	VEN 60 APO JUN 05*2505* KRE 05*2504* A K?	MAR 30 VES LÖW 09*4239* WID 22*5647* H +5	VEN 135 ERI JUN 07*5648* WID 22*5647* H +5	PAL 72 ERI KRE 04*5641* WID 22*5641* H +5	MER 90 EL6 KRE 18*3855* WAA 18*3854* A
04:10	03:17	08:19	09:38	10:16	18:40	05:07	01:07	05:35	06:30	06:05
MER 45 VEN KRE 13*2210* LÖW 28*2210* T K -1	NEP 120 APO FIS 04*5217* KRE 04*5217* A*	SAT 120 APO SKO 05*0022* KRE 05*0022* A*	VEN 30 GSZ JUN 02*1459* WAA 02*1458* A*	PAL 90 GSZ KRE 02*1458* WAA 02*1458* A*	SON 30 ORC LÖW 03*5052* JUN 03*5052* A	MER 30 CER KRE 15*2141* LÖW 15*2141* H 0 / +7	SON 90 SAT LÖW 05*0822* SKO 05*0822* A W?	SON 72 SED LÖW 06*1623* STI 24*1624* A*	CHI 30 JUN FIS 12*5935* WAS 12*5935* A*(8,5/7)	VEN 45 VAR JUN 10*2757* KRE 25*2756* H +2
11:46	04:53	10:42	18:26	12:34	18:37	08:24	05:47	08:10	06:41	09:29
PAL 135 JUN ZWI 29*5814* WAS 14*5814* A*	CER 45 FY9 LÖW 13*0630* JUN 28*0629* H +2	VEN 60 PAL JUN 01*0606* KRE 01*0606* H +2	CER 180 JUN LÖW 14*1538* WAS 14*1538* A*	VEN 45 EL6 JUN 03*3550* WAA 18*3550* T -2	VEN 60 SAT JUN 05*0560* SKO 05*0600* T -2	MAR 45 SED KRE 09*1548* STI 24*1548* T -4	PAL 60 ORC KRE 03*5248* JUN 03*5249* A*	JUN 135 FY9 WAS 13*1246* JUN 28*1245* A*	URA 150 KN1 WID 12*2731* SKO 12*2731* A*(8,5/7)	CER 45 GSZ LÖW 17*1456* WAA 02*1457* H +5
11:54	07:37	15:12	23:43	13:48	17:10	15:22	10:24	14:36	12:53	12:17
SON 144 NEP KRE 28*5304* FIS 04*5305* A W	MAR 0 JUP KRE 05*5405* KRE 05*5404* A	MER 30 CER KRE 13*4501* LÖW 13*4502* Hf +7	MER 150 JUN KRE 14*1241* WAS 14*1241* A	MAR 144 JUN KRE 08*0447* WAS 14*0448* A	VEN 0 ORC JUN 03*4939* JUN 03*4938* A	SON 150 NEP LÖW 04*4505* FIS 04*4504* A	MER 72 FY9 KRE 16*1155* JUN 28*1155* T -1	SON 72 EL6 LÖW 06*3756* WAA 18*3757* A	VEN 120 PLU JUN 09*3628* STE 09*3629* T K -2	MER 45 ORC KRE 18*5659* KRE 18*5659* A
18:16	11:18			17:10		21:20	12:13	15:53	13:24	18:07
CER 90 KN1 LÖW 12*5435* SKO 12*5435* A*	SON 144 QUA KRE 29*4854* SCH 23*4853* H W +3			VEN 0 ORC JUN 03*4939* JUN 03*4938* A		PLU 144 CER STE 09*3957* LÖW 15*3957* H +5	SON 30 APO LÖW 05*3453* KRE 05*3453* T -3	NEP 120 PAL FIS 04*4217* KRE 04*4216* A*	SAT 120 PAL KRE 05*1330* SCH 23*4107* T K -2	SON 135 QUA LÖW 08*4107* SCH 23*4107* T K -2
	12:37			17:54		22:07	13:43	23:54	17:48	19:18
	CHI 150 CER FIS 13*1510* LÖW 13*1511* A*			SON 144 GaZ LÖW 02*5630* SCH 26*5629* A		PLU 150 VES STE 09*3955* LÖW 09*3954* A*	VEN 60 JUP JUN 07*1512* KRE 07*1512* A*	SON 144 CHI LÖW 07*0010* FIS 13*0011* A	SON 30 JUP LÖW 07*4258* KRE 07*4257* T K -3	PAL 0 APO KRE 05*5654* KRE 05*5654* A*
	14:08			22:25		22:14	21:11			
	CHI 144 VES FIS 13*1503* LÖW 07*1503* H* +5			VES 135 QUA LÖW 08*4550* SCH 23*4550* A*		VEN 144 URA JUN 06*2848* WID 12*2848* A	JUP 144 JUN KRE 07*1912* WAS 13*1912* A*			
	21:01					22:52				
	ERI 72 APO WID 22*5713* KRE 04*5714* A*					MAR 180 PLU KRE 09*3953* STE 09*3952* A				